

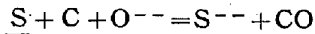
抄 錄

一製 鋼

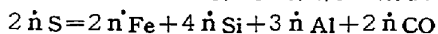
硫黄移行反応の速度とその機構 (S. Ramachandran, T. B. King & N. J. Grant. Journal of Metals 8 Nov. (1956) 1549~1588)

炭素飽和熔鉄と鉱滓間の S の移行速度を他の元素の変化および CO ガス発生量と同時に測定した。装置はガス量測定槽と連結した気密炉の内部に 2 個の黒鉛坩堝を上下に重ね、上段に熔鉄、下段に熔滓を入れ、上段坩堝の底部のストッパーを切つて熔鉄を熔滓中に流下せしめ、下段坩堝を回転せしめて攪拌棒により攪拌しつつ試料をとり変化する熔鉄、熔滓の組成および CO 発生量を追求した。鉱滓の組成は CaO-Al₂O₃-SiO₂ 系 (48:21:31 および 40:16:44) および CaO-Al₂O₃ 系 (45:55:40:60, 50:50) である。

実験の結果は脱硫反応と CO 発生との関係は



に示す式にはよらず、Fe, Si, Al および CO の鉱滓相への移行 (あるいは逆行) あるいは CO ガス発生と関係し、毎秒変化モル数を \dot{n} とすると定量的に次式が示されこれらイオンの電気化学的反応と解釈される。



また $C + O = CO$ の反応は S の移行中重要な関連反応として起るものでなく、鉱滓、熔鉄接触面における電気化学的反応として生ずるものとし C. Wagner に倣つて Whitman の two-film 仮説に従つて説明した。またその一部は黒鉛坩堝を用いた場合は局部電池作用により発生すると考えた。(沢 繁樹)

一製 鋼

鉱滓の水素含有量 (J. H. Walsh, J. Chipman, T. B. King & N. J. Grant: Journal of Metals 8 (1956), Nov. p. 1568~1576)

本論文は合成滓、酸性平炉滓、塩基性平炉滓および塩基性電気炉滓の水素含有量を測定して、その際の雰囲気の影響を調べたものである。鉱滓の分析は真空熔融法を行い、試料はアルミニウムの箔で包み、アルミナルツボ中で熔融した。blank correction は硼砂で行った。

実験によつて得られた結論は次の如くである。

1) 40% CaO-40% SiO₂-20% Al₂O₃ の組成の合成滓を水蒸気と窒素の混合ガス中で 1370°C, 1450°C および 1550°C の 3 種類の温度に 6 時間以上保持して平衡に達せしめると、合成滓の水素含有量は水蒸気圧の平方根に比例し、温度に対する影響は極めて小さい。

2) 上と同じ合成滓を水蒸気圧を 190 mmHg (25%) に一定に保つた水素、窒素と水蒸気の混合ガス中で 1) と同様に熔融したが、その結果は 1) と同じで、水素含有量は殆んど一定で 42±3 ppm であつた。

3) CaO 飽和、SiO₂ 飽和および 50% CaO-50% SiO₂ の 3 種類の組成の CaO-SiO₂ 系合成滓を 1550°C で純水蒸気中で熔融すると、水素含有量は塩基度が

増すにつれて僅かに増加したが、その影響は小さかつた。

4) 62% MnO-38% SiO₂ の組成の合成滓を種々の水蒸気圧の水蒸気と窒素の混合ガス中で 1350°C と 1450°C で熔融したが、やはり水素含有量は水蒸気圧の平方根に比例し、温度の影響は認められなかつた。

5) 鉱滓中の水素は鉱滓と水蒸気との反応に起因するのであつて、水素ガスが直接溶解することは殆んどない。

6) 塩基性平炉滓の水素含有量は時間の経過につれて徐々に増加する傾向を有する。

7) 酸性平炉滓の水素含有量は塩基性平炉滓の水素含有量のおよそ 1/3 であるが、これは酸性平炉滓の粘性が高いので、雰囲気と平衡に到達していないためと思われる。また酸性平炉滓の水素含有量は時間の経過につれて殆んど変化しなかつた。

8) 塩基性電気炉滓の中の水素は炉の雰囲気との平衡状態に近く、水素含有量は時間の経過につれて減少する傾向にある。

9) 実際の製鋼過程では鉱滓は鋼と平衡状態にあるのではなくて、炭素の酸化による湯の沸騰が熔鋼の水素含有量の上昇を妨げているのである。

10) 酸性滓は粘性が高いので、雰囲気から水素を捕えて、鋼に持ち来たる速度が塩基性滓よりも遅いのであると考えられる。(平野見明)

高周波方式の真空溶解 (A. Bussard: La Métallurgie et la construction mécanique, 88 (1956) 10, pp. 847~851)

W. Rohn (Heraeus, Hanau) が高周波方式の真空加熱を創始してから 40 年ほどになるが、今日では数 t を処理し、3,000°C という高温も得られるようになつてゐる。それは、アーカー加熱や直接抵抗加熱に比し、はるかに普遍的で、利点も多いからであるが、次のような諸点に困難を感じることもある。たとえば、(1) グローバー放電を避けるため、電圧を 250V ていどに下げねばならぬ、(2) コイルとチャージ、またはコイルと電源との連絡の問題、(3) コイルの巻き方に関する事項 (ターンは 3~15 という少ない数になる)、(4) 発電機がそのままは使えない (コンデンサーの挿入)、(5) ルツボ壁は塩基性とし、かなり厚いものになる、(6) 電流が大きくなるから、導入法がむつかしくなり、誘導損失も増加していく。

こうして、コイルには絶縁を施さず、放電電圧が 50V ほどであるから、ターンの最小数も 5 となる。チャージの径/長さの比も大きく変わらないので、周波数の選択に絞られてきて、これも 300c~10kc におのづから制限されるから次の見当になる (ただし、耐火ルツボで鋼を溶解する場合)。~25kW: 10kc, 0.5~50kg: 4kc, ≤150kg: 2kc, 200~500kg: 1,000C, ≤1t: 500c.

また、コンデンサー・バッテリーの出力、電流の規準

も得られており、不導体ルツボを使うか、黒鉛ルツボによるかで操作も変つてくる。

次に、焼結や熱処理用としては、1,150°C ぐらいまでは、出力は抵抗炉の 1/3 とか 1/5 である。Ta, W, Mo, Nb などのシンターでは、経済的にも技術的にもプレス・セクションが四角、長方形が多くなつてゐるから、電流の分散で温度の均一、不均一化をはかるといふ具合に、コイルの巻き方、配置に工夫がこらされてゐる。(松下幸雄)

铸造 Ni 合金におよぼす熔解並に铸造雰囲気の影響
(C. M. Hammond & R. A. Flinn Journal of Metals 8 Oct. (1956) 1450~1456)

Guy 合金、Inco 700 および GMR 235 合金のワックス型エチルシリケート基の精密铸造試料の機械的性質および組織におよぼす空気中熔解铸造、アルゴン中熔解铸造、真空熔解アルゴン中铸造の影響を調べた。試料の組成は次表の通りである。

合 金 名	C	Cr	Mo	Al	Fe	Ti	B	其の他
Guy 配 合 範 囲	0.10 0.08~0.26	13.5 12.83 ~15.35	7.0 4.42~5.87	7.0 4.33~7.31	4.5 4.36~6.94	— —	0.60 0.28~0.48	Cb 2.0 1.52~2.30
Inco 700 配 合 範 囲	0.10 0.09~3.4	15.5 14.79 ~15.89	3.2 2.10~3.32	3.5 1.32~3.4	0.5 0.17~0.99	2.0 1.30~3.3	— —	Co 29 27.14 ~30.5
GMR 235 配 合 範 囲	0.15 0.15~0.27	15.5 15.03 ~15.99	5.0 4.31~5.39	3.5 2.37~4.66	10.0 7.65 ~11.10	2.0 1.70~2.30	0.09 0.06~0.12	

1500°F におけるラブチャーティー試験の結果は次表の通りであつて、真空熔解アルゴン铸造のものが伸びが著しく大であり、その窒素含有量は空気中熔解またはアルゴン中熔解のものに比して 1/5~1/10 の少量であつた。

合金名	雰囲気	100 時間ラブチャーティー強度 Psi	伸 %
Guy	空 気	42,000	3
	Ar	41,000	1~3
	真空-Ar	56,000	7~10
Inco 700	空 気	37,000	2~4
	Ar	43,000	3~4
	真空-Ar	42,000	21
GMR 235	空 気	41,000	6~9
	Ar	41,000	3~7
	真空-Ar	42,000	14~19

(沢 繁樹)

一 鑄 造

連続铸造インゴットからの薄板の機械的特性一ロシヤの Krasnoye Sormovo プラントで得られた結果
(Iron and Coal Trades Review 1956 Oct. Vol. CLXXIII. No. 4613 p. 973~974)

ロシヤの Krasnoye Sormovo において A.A. Zhdanov と呼ばれる連続铸造装置が 1955 年 6 月稼働に入つたがこの装置を使って連続铸造と普通铸造の鋼間の比

較試験を行つた。低炭素普通鋼を塩基性平炉で熔解し各々 50~55 t 取鍋 2 個に出鋼し 1 つの取鍋は連続铸造用他の 1 つは普通铸造用とした。連続铸造インゴットより cast の初期中期末期に相当する頭部、中心部、底部の 3 個の試料をとつた。普通铸造インゴットも同条件下で圧延し材料も前記同一場所よりとつた。調査の主眼点は(1) 連続铸造鋼片の長さの方向に沿つての色々な部分から圧延した薄板間と薄板内における圧延方向と垂直方向との間の機械的特性値の不均一性の範囲と(2) 連続铸造鋼片中の内部熱間亀裂が圧延時どの程度接合するかまたそれが力や延性に影響をもつかどうかという点である。

圧壊値、引張り強さ、伸び、降伏点等の試験を行つた結果圧延方向と垂直方向とでは板の機械的特性は大差ないことがわかつた。また連続铸造インゴットの頭部、中心部、底部に相応する薄板間の機械的特性の変動は非常に僅少であつた。圧延方向試料の伸びは垂直方向材料の伸

びより 1~2% 高い。また圧壊値も 1 kg/cm² 高い。

普通铸造インゴットより圧延した薄板の伸びおよび圧壊値は圧延方向、垂直方向材料とも殆んど同じであつた。抗張力が同じものについては伸びと圧壊値は連続铸造のものの方が高かつた。

連続铸造鋼片からの薄板の平均圧壊値は圧延方向で 13 kg/cm² 垂直方向で 12.3 kg/cm² で普通铸造のもの値は 10.6 と 9.3 kg/cm² であつた。範囲で示せば連続铸造の圧延方向のものは 10.5~15.5 kg/cm² 垂直方向のものは 9.5~14.6 kg/cm² 普通铸造の圧延方向のものは 8~13 kg/cm² 垂直方向のものは 6.1~13 kg/cm² であつた。この様に連続铸造のものは普通铸造のものより機械的特性はより均一性がよい。

連続铸造鋼片はマクロ試験で熱間亀裂が表れていた。機械試験後の試料の破断面と薄板の色々な部分からとつた有溝衝撃試験の破断面を注意深くしらべた結果連続铸造インゴットから圧延した薄板中には割れは完全にないことがわかつた。これは連続铸造インゴット中の内部亀裂が圧延時に接着してしまうのである。(吉村恒夫)

一 加 工

鋼塊の加熱速度の増大 (P. M. Cook, J. D. Stringer: J. Iron & Steel, Nov. 1956, pp. 309~315)

低周波誘導加熱法とガスバーナーの発展により、ビレットの形の低合金鋼の急速加熱法は確立しているが、大型鋼塊と高合金鋼々塊の加熱には徐熱法が行なわれてい

る。鋼塊は、表面から芯部への温度勾配により生ずる熱(膨脹)応力のため横われを生じ易い。铸造したままの鋼塊は延性が低いので、前の熱間加工で組織が破壊されているビレットよりも横われを生じ易い。

最近 Terlecki と Hess が鋼塊の急速加熱により好結果を得たと報告したので、著者は、種々の大きさおよび品質の鋼塊を構造上の損傷なしにどの程度早く熱間加工温度まで上げることができるかを実験した。

1350°C の炉に安全に移すためには 900°C の予熱炉に冷材装入した 6" 鋼塊は鋼塊温度 500°C に 30mn おけばよく、1000°C の予熱炉に冷材装入した 4" 鋼塊は約 300°C の鋼塊温度に 5mn おけばよい。しかし 1350°C の炉では過熱を避けるよう特に注意を要する。もつと実際的な加熱サイクルは、4" または 6" 角鋼塊を 800°C の予熱炉に装入し 30mn 後に 1200~1230°C の炉に移し 30mn 以上おくことである。急熱鋼塊の鍛造性は徐熱鋼塊と大差がない。鍛造後の顕微鏡組織は急熱の場合より徐熱の方が幾らかよいが殆んど同じである。表面脱炭は急熱の場合に著しく少ない。

しかし上記の 2段加熱法は連続的生産規模に適用することが困難である。ある工場では铸造のままの 4" および 6" 角の高速度鋼々塊を多数一緒に 600°C の炉に装入し 6h で 1150~1200°C に昇熱し、均熱を省略している。以前は 8h で 1150~1200°C に昇熱しこの温度に 7h 均熱したのである。他の工場では、連続式ガス加熱炉に釣アーチを作り高温帶の大きさを縮めることにより、従来全通過時間 8h の中 900°C 以上が約 5h であつたのを、En 26 鋼 (2 1/2% Ni-Cr-Mo) の 8" 角鋼塊と 0.6% C 鋼の 8" と 10" 角鋼塊を冷塊のまま 1350~1400°C に保つたガス加熱炉に装入した。鋼塊の中数本は中心、中間部および表面の 1/8 in 下の温度を測定した。急速加熱中、 α - γ 変態の時期に表面と中心の間に 300°C 程度の温度差が生じたが、表面温度 1250°C で炉から取出す時にはこの差は約 100°C に減少し、取出してから数分以内に中心と表面の温度は同一となり、その後は中心の方が表面より高くなる。この際の熱間加工温度範囲の温度分布は、従来の加熱後充分均熱する鋼塊と同様である。超音波探傷、断面検査およびマクロ試験では、欠陥は全く見出されず变形に要する力も徐熱鋼塊と大差がない。

次に 18-4-1 高速度鋼では 800°C 以上の時間を 11/2h に減少した。12" 角までの種々の大きさの含コバルト高速度鋼、6-5-2 Mo 系高速度鋼等も同様に加熱される。何れも鍛造性には差異が認められず、脱炭量、スケール損失、燃料消費量が減少した。特殊の設計の炉に強力バーナを備えれば加熱時間を更に短縮できる(田鍋力)

一 性 質

下部ペイナイトと焼戻マルテンサイトの Matrix Phase (F. E. Werner, B. L. Averbach, and M. Cohen, J. of Metals, 8 (1956), Oct. 1484)

Ms 点附近で生じたペイナイトは同温度に焼戻されたマルテンサイトと電子顕微鏡的に酷似しており、また電子回折によつても焼戻マルテンサイトと同様 ϵ -炭化物とセメンタイトとが存在することが見出だされている。

しかし X線を用いての本研究により、焼戻マルテンサイトの素地は体心正方であるのに対し、ペイナイトのそれは体心立方であつて両者は構造的に異なるものであることが判つた。すなわち 1.43% C の Fe-C 合金を 1260°C に 24h 加熱し、1 カは 210°C の塩浴に焼入れ、16h 保つてペイナイト組織とし、別の 1 カは液体窒素まで焼入れて 90% マルテンサイトにした後 210°C に 10h 焼戻した。これらの試片について精密に格子常数を測定した結果、ペイナイトの素地は体心立方で、フェライトの格子常数 (2.866 Å) と誤差範囲内で一致する値を得、焼戻マルテンサイトは僅かに正方晶で c/a は 1.005 ± 0.002 であつた。ペイナイトは 210°C 6h で 50% 生成しておりこれは引続いての 10h で焼戻されるであろうが、マルテンサイトはこの温度の焼戻で数分間で 0.30% C に相当する値まで軸比を減じ、10h 後も 1.005 であるから、たとえペイナイトが正方晶としてオーステナイトから生じたものであつても 10h で完全な立方晶になるとは考えられない。すなわちペイナイトはオーステナイトから直接立方晶として生ずると考えるのが妥当であつて、その C 量はせいぜい 0.1% 程度であろう。

先に著者は残留オーステナイトが焼戻で分解するときは同温度で焼戻されたマルテンサイトと同じものになると提案した (C. S. Roberts, B. L. Averbach, M. Cohen, TASM, 45 (1953) 576) が、本実験はペイナイトと焼戻マルテンサイトの素地は同一ではないことを示していると結んでいる。(田中良平)

キュポラ熔解した鉄鉱の酸素含有量 (E. A. Loria, H. W. Lownie & M. W. Mallett: Journal of Metals 8 (1956), Dec., p. 1670~1672)

本論文はキュポラで熔解した鉄鉱の炭素、珪素、酸素水素および窒素の含有量とスラッグの FeO 含有量を測定して、鉄鉱の酸素含有量とこれらの測定値との間の関係を調べたものである。

使用したキュポラは Battelle の直径 10in のキュポラであつて、熔解条件は正常な場合と酸化性の場合の 2 種類である。極で採取した鉄鉱の組成は大体 3.2% C, 2.10% Si であつた。鉄鉱とスラッグの試料は各々の熔解で 5~7 回の出湯間隔で採取した。鉄鉱試料は直径 3/8 in, 長さ 2 in の鋼の割り型に鉄込んで造つた。ガス分析は真空熔融法で行つた。

実験に先立つて、鋼の脱酸理論より鉄鉱の場合を次のように予想した。

1) 鉄鉱の酸素含有量は少なく、恐らく 0.002~0.003 % である。

2) 鉄鉱の珪素量が 1% まで増加しても酸素含有量には殆んど影響を及ぼさない。

3) 実際の操業温度の範囲内では温度が変化しても鉄鉱の酸素含有量には殆んど影響がない。

これに対して実験結果からの結論は次の如くである。

1) 送風速度を増し、ベッドコーネスの高さを低くした場合の一熔解 (0.0058% O₂) を除いて、鉄鉱の酸素含有量は約 0.002% であつた。

2) 鉄鉱中の珪素量が 1.32~2.35% の範囲内で変化しても、あるいは炭素量が 2.98~3.43% の範囲内で変

化しても、あるいはまた炭素当量が 3.55~4.12% の範囲内で変化しても酸素含有量との間に一定の関係は認められなかつた。

3) 出湯温度が 2650~2800°F の範囲内で変化しても鉄鉄の酸素含有量は殆んど変化しなかつた。

4) スラグの FeO の量が 3~15% の範囲内で変化しても鉄鉄の酸素含有量との間には一定の関係はなかつた。

以上の結論から実験結果が鋼の製鋼理論からの予想とよく一致していることがわかつた。(平野見明)

一雑一

チタン中の水素 (D. N. Williams, R. I. Jaffee Materials & Methods 1956, Vol. 44 No. 4 p. 96~97)

チタン合金中の水素の影響の最も重要なものの一つに著しく歪速度感受性をひき起すことがある。 α - β チタン合金中水素が 200 p.p.m. (0.02%) 以上あるとクリープのような緩い引張りのもとで極端に脆くなる。そして急激に引張ると脆化は明瞭でない。歪速度効果は室温あるいはそれ以下で最も明瞭になる。300°F 以上で殆んど完

全に存在しない。 α - β 合金の引張り特性に対する水素の影響は 180 p.p.m. までは僅かであるが 270 p.p.m. だと延性は激しく低下する。室温でのクリープではその効果が尙一層明瞭である。この歪速度感受性の問題はまだ完全に満足な説明はなされていないが α - β 境界に沿つて水化物が出来るためとされている。

また水素は有溝衝撃値を低下させる。 β -チタンへの水素溶解度は全く高いが α -チタンへの溶解度は温度と共に急速に低下し室温では 50 p.p.m. 以下の水素しか溶解しない。水素がこの量をこせば水化物粒子が析出する。この水化物粒子が著しく有溝衝撃値に影響を及ぼし普通の引張り特性に影響を及ぼしていない。この水化物の生成を最小にするため 2つの方法がある。① β "getter" の面積を生成する β 安定元素を少量添加する方法と② α -チタンの水素溶解度を上げるためアルミと合金させる方法である。

また水素は熱に対する不安定性を増加する。すなわち水素は α - β 合金の昇温使用状態での不安定性を増加する。(吉村恒夫)

米国の製鋼高累計 30 億 t 台に達す (Steel Facts. No. 140, Oct. 1956)

米国の製鋼高は約百年前、鋼時代が始まって以来 1956 年迄において累計 30 億 t 台に達した。この 30 億 t 台に達した月日を精確に指示することは困難であるが、1956年の生産高は、ペセマー製鋼法百年祭に対して一段の興味を加えるものである。

3人の製鋼創始者：古代における鋼の生産は誠に微々たるものであつたが、今から約百年前に新製鋼法が発明されてから、製鋼高の増大を見たばかりでなく、安く、早く製造されるようになつた。アメリカの William Kelly, イングランドの Henry Bessemer, スコットランドの Robert Mushet の 3人は鋼時代への道を開いた人々であつた。Kelly と Bessemer は互に数千哩を距てて、単独で、不純物を除くため溶銑中に空気を吹き込む方法を発明し、一方 Mushet は鋼を強靭ならしめるため鏡鉄の形で、マンガンを加える方法を発明した。結局これらの発明によつて大量の鋼が安く出来るようになつたが、しかしこのことは一夜で改まつたものではない。米国昔日の製鋼高は現在に比べれば誠に少量であつた。1867年の製鋼高は約 3,000 t に過ぎなかつたが、それから 23 年を経た 1890 年の生産高は百万 t を超え世界をリードすることになつたもので今なお首位を占めておる次第である。

国富増進の大要因：ペセマー法は米国国富増進の大要素であつた。これによつて、優良で低廉なレール、橋梁、優秀な農具、また数えきれぬその他の工具ができるようになつた。米国はまた、国内に豊富で高度の鉄鉱石、コークス用炭の供給資源に恵まれていた。1860年前における米国の製鋼統計は不正確であつてこれがため 1956 年の何月に製鋼高が累計 30 億 t 台に達したかを指示することが困難であるが、しかしあそらく 1956 年の中頃において達したものと見られる。ペセマー法による生産高の累計は 30 億 t のうち、約 4 億 5 千 5 百万 t を占め、一方 1908 年頃から米国的主要製鋼法となつた平炉法の生産高は、24 億 4 千 7 百万 t で、その他の製鋼法（電気、堜堀、その他）のそれは約 9 千 9 百万 t と計算される。

ペセマー法による米国の製鋼高は 1908 年まで首位を占めその後は平炉法に地位を奪われた。因に米国ペセマー鋼年産高の最大は 1906 年の 1,380,000 t であつた。製鋼高が累計 10 億 t 台に達したのは 1927 年頃であつた。(三宅)

註：本記事中の ton, 例えば 30 億 t の ton は net ton かその他の ton か明記なきも、恐らく net ton (2,000 ポンド) と思われる。—訳者